

論文

UDC 622.341.1-188 : 669.162.262.48 : 543.78 : 546.46-31 : 549.086

MgO 含有自溶性ペレットの焼成時における鉱物組織変化*

土屋 僕**・杉山 健**・小野田 守**・藤田 勇雄***

Changes of Mineral Phases in MgO-added Self-fluxed Pellets during Indurating Process

Osamu TSUCHIYA, Takeshi SUGIYAMA, Mamoru ONODA, and Isao FUJITA

Synopsis :

The changes of mineral phases in MgO-added self-fluxed pellets during indurating process, were investigated through quantitative analysis by means of EPMA and a microscopic observation.

Sampled pellets with the variation of 0, 1, 2, and 4% of MgO contents and 0.5, 1.5, 2.0 of CaO/SiO₂ ratios, were made by laboratory-scale electric furnace at 1200, 1250, and 1300°C of indurating temperature.

The results are as follows :

(1) Major change of mineral phase by adding MgO component to lime-fluxed pellets is the formation of a magnesio-ferrite phase. Forming amounts of magnesio-ferrite and MgO contents in this phase are increased or decreased respectively with the increase of CaO/SiO₂ ratio and indurating temperature. The chemical formula of this phase is showed as (Mg_{0.5~0.8}·Fe_{0.2~0.5}) Fe₂O₄ in pellet outer portion, and as (Mg_{0.3~0.5}·Fe_{0.7~0.5}) Fe₂O₄ in pellet center portion.

(2) Mineral phases except iron oxide are a calcium ferrite and three kinds of slags with about 0.5, 1.0 and 1.4~2.0 of CaO/SiO₂ ratio. The formation of these phases changes by CaO/SiO₂ ratio and indurating temperature. MgO and Fe₂O₃ contents in slag phases decrease with the increase of CaO/SiO₂ ratio of slag. MgO contents in calcium ferrite increase to 2.5~3.0% by adding MgO component.

1. 緒言

微粉鉄鉱石の加熱塊成体である鉄鉱石ペレットの冶金性状は、焼成時に出現する鉱物の種類およびその存在状況により大きく支配される。特に人為的に石灰石およびドロマイト等を配合して製造した自溶性ペレットにおいては、酸化鉄以外に新たに生成する鉱物の種類はペレットの製造条件としての溶剤の配合比および焼成ヒートパター等により種々変化するため、これに伴つて冶金性状も影響を受ける^{1)~3)}。

自溶性ペレットの焼成時における鉱物組織の変化に関しては Fe₂O₃-CaO-SiO₂ 系について詳細なる報告はあるが^{4)~6)}、MgO の影響をも考慮した系については系統的な研究は少ない^{7)~9)}。本論文は自溶性ペレットの焼成時に出現する鉱物組織におよぶ MgO の影響を明らかにするため、実験室の小型電気炉で焼成したペレットのミクロ組織を EPMA による元素分析に基づき検討したものである。

2. 実験方法

供試鉄鉱石および CaO, SiO₂, MgO 成分調整用原料

は Table 1 に示す化学組成のもので、比表面積 4000 cm²/g に粉碎したマグネシヤレンガ屑以外は既報¹⁾²⁾ と同一のものである。

これら原料を用いての造粒および焼成方法は既報¹⁾²⁾ と同一なので説明は省略する。得られた焼成ペレットは SiO₂ 量と 4% 一定として、CaO/SiO₂ 比を 0.5, 1.5, 2.0 について MgO 量が 0, 1, 2, 4% を目標に調製されたもので、焼成温度は 1200, 1250, 1300°C の 3 水準である。焼成ペレットの組織変化は顕微鏡観察および EPMA によるミクロ組織の分析で調査した。

3. 実験結果**3.1 顕微鏡組織観察**

Photo. 1 に焼成ペレットの顕微鏡組織の 1 例を示す。CaO/SiO₂ 比が 0.5 のペレットにおいては、ヘマタイト、マグネタイト、スラグおよびマグネシオフェライト相の 4 種が見られ、焼成温度 1200°C と 1250~1300°C ではスラグの晶出状況および鉱粒の結合度合に明らかな差がある。焼成温度 1250°C 以上から顕著にスラグ相がヘマタイト鉱粒間に晶出し、これに伴い鉱粒も丸味を帯びて鉱粒相互の結合が十分に発達する。MgO 添加量

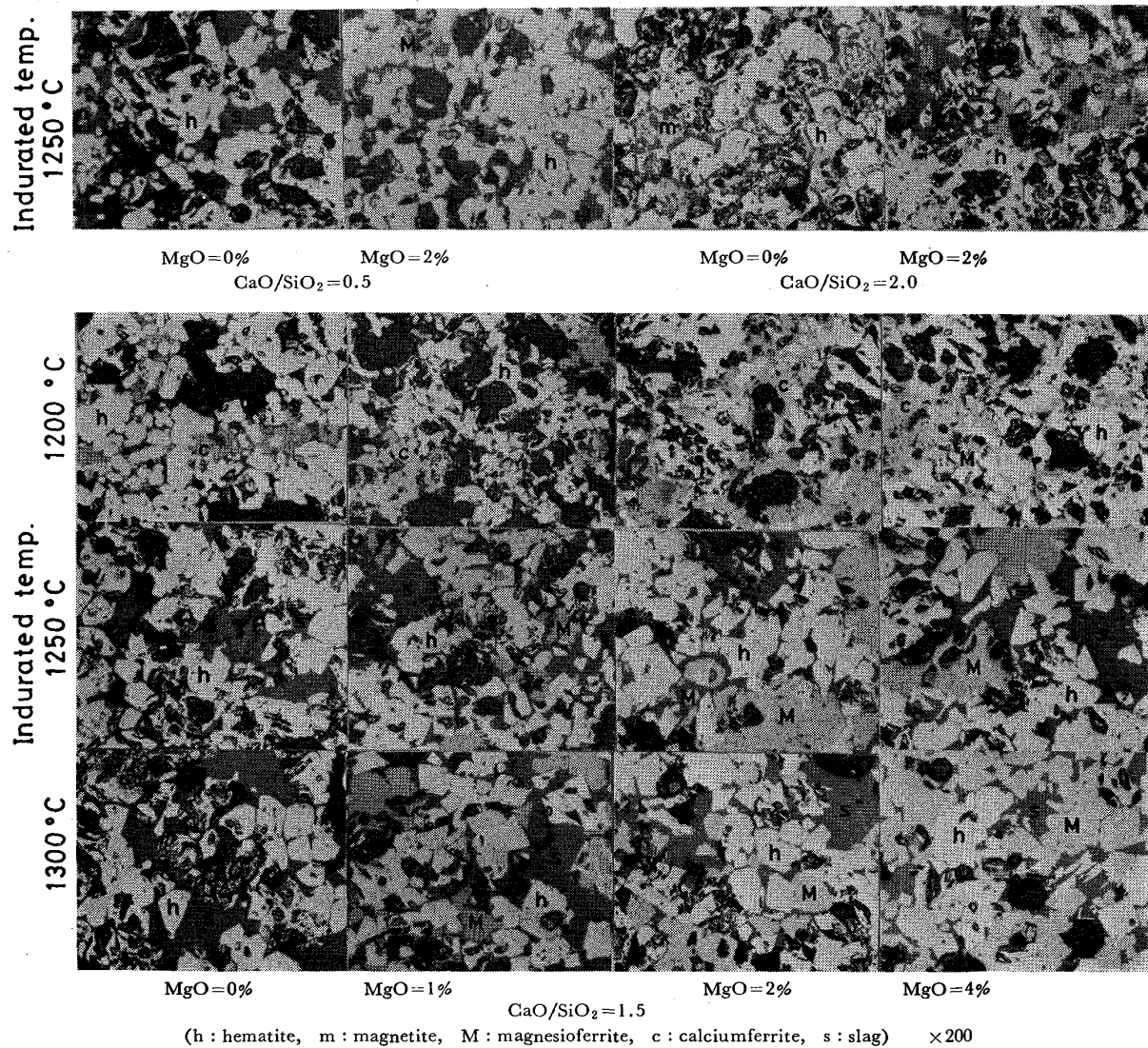
* 昭和 51 年 4 月本会講演大会にて発表 昭和 55 年 3 月 21 日受付 (Received Mar. 21, 1980)

** (株)神戸製鋼所中央研究所 (Central Research Laboratory, Kobe Steel, Ltd., 1-3-18 Wakinoohama-cho Fukiai-ku Kobe 651)

*** (株)神戸製鋼所中央研究所 理博 (Central Research Laboratory, Kobe Steel, Ltd.)

Table 1. Chemical analysis of raw materials.

Raw materials	Chemical composition (%)							
	T. Fe	FeO	SiO ₂	Al ₂ O ₃	CaO	MgO	S	Ig. loss
Ivory coast ore	70.34	29.30	1.91	0.20	0.07	0.27	0.01	—
Hammersley ore	67.72	0.94	1.29	0.43	0.03	0.02	0.003	2.34
Lime stone	—	—	0.36	0.26*	54.78	0.94	—	43.56
Silica sand	—	—	98.50	0.04	0.02	0.1	—	0.15
Magnesia	—	—	0.10	0.14*	0.64	98.39	—	—

* $\text{Al}_2\text{O}_3 + \text{Fe}_2\text{O}_3$ Photo. 1. Change of microstructures of pellets with various CaO/SiO_2 ratio, MgO contents and indurated temp.

の増加に伴い、 $\text{MgO} 2\%$ 以上のペレットを温度 1250°C 以上で焼成した場合マグネシオフェライト相が明確に観察され、 MgO 量および焼成温度の高いほどその生成量は増加する。しかし顕微鏡観察ではマグネタイトとマグネシオフェライトの両相とも灰色を呈し判別は困難であるが、マグネタイトは形状が鉱粒の原形に近似しているのに対してマグネシオフェライトはスラグ晶出相中又は周辺にスラグ相を伴つて主に角状に生成する場合が多い。

CaO/SiO_2 比が1.5のペレットにおいては、温度 1200°C で焼成した場合はヘマタイト以外に微細な結晶群から成るカルシウムフェライト相とこのカルシウムフェライト相の間に共存するスラグ相から成り、温度 $1250\sim1300^\circ\text{C}$ で焼成した場合はカルシウムフェライト相はほとんど見られなくなり自形化し大きく粒成長したヘマタイトとマグネタイト、マグネシオフェライトおよ

びスラグ相から成る組織を示す。MgO の添加によりマグネシオフェライトの生成が見られ、MgO 量の増大および焼成温度の上昇に伴つてその生成度合は顕著となる。温度 1200°C で焼成したペレットにおいては、顕微鏡観察からはマグネシオフェライトは明確に判別し難い。中心部と外周部でのマグネシオフェライトの生成状況に大きな差はないが、外周部において局部的に一つの鉱粒でヘマタイト相とマグネシオフェライト相が交互に現れる組織がある。

CaO/SiO₂ 比が 2.0 のペレットにおいては、温度 1200°C で焼成した場合は CaO/SiO₂ 比が 1.5 のペレットと同様にカルシウムフェライト組織が大半を占めている。焼成温度 1250°C では、MgO 無添加ペレットはカルシウムフェライト相が消失してヘマタイトとマグネタイトが縞状に晶出したスラグ組織となり、MgO 1% および 2% のペレットには長柱状のカルシウムフェライトとマグネタイト相が見られ、MgO 4% のペレットにはカルシウムフェライト相は見られず多くのマグネシオフェライト相と晶出ヘマタイト相を持つスラグ相となる。焼成温度 1300°C においては MgO 無添加ペレットではヘマタイトとマグネタイトの自形化・粒成長が顕著となり、スラグ相は 1250°C 焼成ペレットとほぼ同様である。MgO 量の増加によりマグネタイトおよびマグネシオフェライト相の生成が著しくなる。またこの焼成温度ではカルシウムフェライトは見られない。

3.2 EPMA によるミクロ組織分析

Table 2 に供試ペレットの EPMA による分析結果を各元素の酸化物に換算して示す。ここで Fe は EPMA では Fe²⁺ と Fe³⁺ とは分離して定量困難のため、マグネシオフェライト以外の相については Fe₂O₃ として酸化物に換算した。酸化鉄相中で MgO を 5% 以上含有していた相をマグネシオフェライトと考え、マグネシオフェライト相についてのみ (Fe_{1-x-y}·Ca_x·Mg_y)O·Fe₂O₃ の化学式から MgO および CaO の測定値を基に FeO および Fe₂O₃ の含有量を算出し、この値を示した。この各成分の値をモル分率に直し、マグネシオフェライトの化学式を求めるとき、ペレット外周部では (Mg_{0.5~0.8}Fe_{0.2~0.5})O·Fe₂O₃、ペレット中心部では (Mg_{0.3~0.5}Fe_{0.7~0.5})O·Fe₂O₃ で示される。

ヘマタイト相の各成分の定量値は Table 2 に表示していないが、供試全ペレットについての CaO, SiO₂, Al₂O₃ および MgO 含有量はそれぞれ平均値で 0.36, 0.29, 0.52 および 0.30% と低く、これらの成分の中では Al₂O₃ の含有量が最も高い値を示している。また CaO/SiO₂ 比および焼成温度により各成分値に差は認められなかつた。

CaO/SiO₂ 比が 0.5 で温度 1250°C で焼成したペレットにおいては、顕微鏡観察と同様に EPMA による分析結果からもヘマタイト (あるいはマグネタイト)、マグ-

ネシオフェライトおよび CaO/SiO₂ 比が約 0.5 の値を持つ低塩基度スラグの 3 種類が存在する。マグネシオフェライトはペレット中の MgO 量が 1% 以上から出現し、マグネシオフェライト中の MgO 含有量はペレット中 MgO 量にかかわらず 8.9~10.0% の範囲のほぼ一定値を持つ。Fig. 1 に示すように低塩基度スラグはペレット中の MgO 量にかかわらず CaO/SiO₂ 比は 0.5 と一定である。Fe₂O₃ および MgO 量はペレット中の MgO 量が 0 から 1% に増加するに伴い、それぞれ約 17.7 から 21~26% へおよび 1.6 から 10.6% へと増大するが、ペレット中の MgO 量が 1% 以上では両成分の含有量は変化せずほぼ一定値を示す。

CaO/SiO₂ 比が 1.5 のペレット組織はヘマタイト (あるいはマグネタイト)、マグネシオフェライト、カルシウムフェライトおよび CaO/SiO₂ 比が約 1.0 の中塩基度スラグと CaO/SiO₂ 比が 1.5~1.9 の範囲の値を持つ高塩基度スラグから成る。各ペレットにおいて全相が存在するわけではなく、ペレット中 MgO 量および焼成温度によつて存在する相の種類は変化する。

焼成温度 1200°C においては、MgO 無添加ではヘマタイト (あるいはマグネタイト)、カルシウムフェライト、中塩基度スラグおよび高塩基度スラグで構成され、MgO 1% では高塩基度スラグが消失し、MgO 2% 以上では新たにマグネシオフェライト相が出現する。マグネシオフェライト相中の MgO 含有量は 13~16% と高く、主にペレット外周部に観察される。Fig. 2 はカルシウムフェライト中の MgO, SiO₂, CaO, Fe₂O₃ 含有量および CaO/SiO₂ 比のペレット中 MgO 量による変化を示したものである。カルシウムフェライト中の Fe₂O₃ 量および CaO/SiO₂ 比はペレット中 MgO 量の増大に伴つて低下する傾向にある。逆にカルシウムフェライト中の MgO 量は MgO 無添加で 1.3% のものが MgO 成分の添加により増加し 2.3~3.0% の範囲の値を示す。SiO₂ 量も増加の傾向を示し 6~15% 程度含有している。また Al₂O₃ 成分は Table 2 に示されるように 1.6~3.8% 含有し、他のスラグ相中の 0.4% 以下と比べて高濃度である。

焼成温度 1250~1300°C においては、カルシウムフェライトは存在せず、MgO 無添加のペレットでは中塩基度スラグおよび高塩基度スラグから成り、MgO 量 1% 以上では新たにマグネシオフェライトが出現している。マグネシオフェライト中の MgO 量はペレット外周部と中心部では異なり、外周部において高い値を示している。外周部マグネシオフェライト中の MgO 量は焼成温度 1250°C では 12~14%，焼成温度 1300°C では約 11% の値を示し、中心部マグネシオフェライト中の MgO 量はそれぞれ 8~9% および 5~8% であり、焼成温度の上昇に伴つて低い値を示している。

Fig. 3 は CaO/SiO₂ 比が 1.0 の中塩基度スラグ中の

Table 2. EPMA analysis of each phase in indurated pellets with various MgO contents.

CaO/SiO ₂	Indurated temp. (°C)	MgO (%)	Phase	wt% as oxide							CaO/SiO ₂
				Fe ₂ O ₃	FeO	CaO	SiO ₂	Al ₂ O ₃	MgO	Total	
0.5	1250	0	LS	17.7		25.8	51.5	2.46	1.61	99.07	0.50
		1	MF LS	74.1 25.6	16.1 21.2	0.31 21.2	0.23 42.2	0.94 1.86	9.44 8.93	101.12 99.79	0.50
		2	MF LS	74.4 21.2	15.2 21.6	0.35 21.6	0.19 44.4	0.86 1.70	10.0 10.6	101.00 99.50	0.49
		4	MF LS	74.2 23.6	16.0 22.1	0.26 22.1	0.22 42.8	0.84 1.58	9.55 9.69	101.07 99.77	0.51
1.5	1200	0	CF MS HS	74.1 3.97 2.51		14.7 45.7 57.5	6.50 49.4 38.8	1.63 0.27 0.27	1.29 0.26 0.39	98.22 99.60 99.47	0.93 1.48
		1	CF MS	70.5 3.5		14.2 46.1	7.19 47.8	3.67 0.31	2.48 0.28	98.04 97.99	0.96
		2	MF CF MS	77.8 62.6 3.27	4.86	1.55 12.9 43.4	0.18 9.10 39.8	0.84 2.27 0.32	15.8 2.95 0.23	101.03 89.82 87.12	1.08
		4	MF CF MS	76.3 63.6 3.34	9.29	1.41 11.5 41.6	0.55 7.36 48.7	0.68 1.22 0.27	13.0 3.16 1.61	101.23 86.84 95.52	0.85
1.5	1250	0	MS HS	14.0 3.99		40.5 61.1	39.4 34.9	2.63 0.37	1.46 0.35	97.99 100.71	1.03 1.75
		1	MF MF* MS HS	76.4 74.1 15.1 1.90	9.03 15.7	1.11 0.96 40.0 63.8	0.21 0.35 38.8 34.1	1.13 0.87 2.06 0.28	13.4 9.22 1.61 0.49	101.28 101.20 97.57 100.57	1.03 1.87
		2	MF MF* MS HS	75.4 74.0 12.3 3.47	12.3 17.0	0.72 0.97 41.0 55.1	0.08 0.17 37.3 35.3	0.59 0.92 2.12 0.44	11.6 9.02 2.33 5.18	100.69 102.08 95.05 99.49	1.10 1.56
		4	MF MF* MS HS	75.9 73.8 13.5 2.96	10.7 16.7	0.77 1.11 39.2 53.9	0.58 0.33 37.7 33.0	0.86 0.75 1.60 0.30	12.6 8.47 1.73 5.51	101.41 101.16 93.73 95.67	1.04 1.59
1.5	1300	0	MS HS	16.8 3.58		40.7 63.7	40.5 39.0	2.76 0.50	1.38 0.66	102.14 107.44	1.01 1.63
		1	MF MF* MS HS	75.1 72.08 16.4 2.18	12.5 21.34	1.40 1.26 38.6 62.2	0.21 0.24 39.8 34.9	0.77 0.78 1.80 0.32	10.9 5.32 1.37 0.28	100.88 101.02 97.97 99.88	0.97 1.78
		2	MF MF* MS HS	75.0 73.4 15.7 2.30	13.4 17.9	0.61 0.88 39.6 60.4	0.05 0.20 39.9 34.9	0.59 0.92 2.17 0.28	10.9 7.82 1.40 0.27	100.55 101.12 98.77 98.15	0.99 1.73
		4	MF MF* MS HS	75.2 73.1 13.0 1.69	12.7 18.4	0.97 1.07 38.7 60.8	0.22 0.16 41.7 34.5	0.84 0.64 1.77 0.26	11.1 7.37 2.27 0.26	101.03 100.74 97.44 97.51	0.93 1.76
2.0	1250	0	HS HS	5.74 1.77		50.9 53.4	35.1 35.1	0.11 0.03	0.15 0.08	92.00 90.38	1.45 1.52
		1	CF HS HS	75.5 3.27 1.01		11.9 52.7 56.0	6.04 35.5 34.2	0.71 0.10 0.02	1.37 0.16 0.06	95.52 91.73 91.29	1.48 1.64
		2	MF CF HS HS	73.7 76.8 3.43 2.41	16.4	1.64 13.4 54.2 59.0	0.31 6.06 36.3 35.6	0.36 1.11 0.30 0.02	8.25 1.52 0.28 0.14	100.66 98.89 94.51 97.17	1.49 1.66
		4	MF HS HS	73.7 13.6 2.48	16.6	1.58 41.5 65.3	0.09 29.6 32.3	0.54 2.10 0.03	8.15 0.52 0.10	100.66 87.32 100.21	1.40 2.02

LS : low basicity slag, MF : Magnesioferrite of outer portion, MF* : Magnesioferrite of center portion, CF : Calcium ferrite.
 MS : Middle basicity slag, HS : High basicity slag

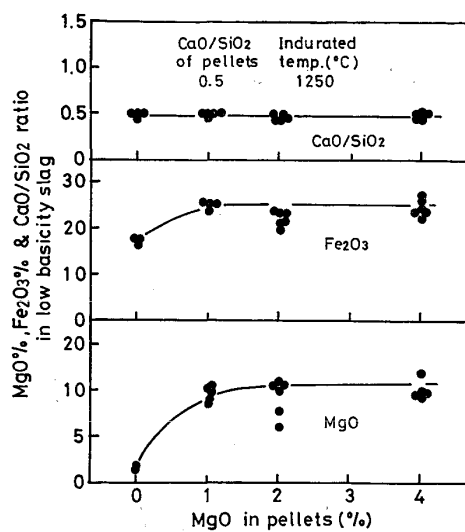


Fig. 1. Change of MgO & Fe₂O₃ contents and CaO/SiO₂ ratio in low basicity slag phase by varying MgO contents in pellets.

MgO, Fe₂O₃, CaO/SiO₂ 比のペレット中 MgO 量による変化を示したものである。焼成温度 1200°C では, Fe₂O₃ 量はペレット中 MgO 量にかかわらず 2.9~5.1 % の範囲のほぼ一定値を示し, MgO 量はペレット中 MgO 量 2% までは 0.2~0.5% と低濃度で変化が見られず, MgO 量 4% において 1.6% と高い含有量を有している。焼成温度 1250°C では Fe₂O₃ および MgO 量はそれぞれ 13~18% および 1.5~2.5% の範囲でほぼ一定値を示している。焼成温度 1200°C と 1250~1300°C における中塩基度スラグ中の Fe₂O₃ および MgO 量の差異は前者において低い値を示すことがある。しかし低温度焼成でもペレット中の MgO 量が 4% になるとスラグ中 MgO 量は高温度焼成ペレットと同等の値を示す。

CaO/SiO₂ 比が 2.0 で 1250°C で焼成したペレット中の組織にはカルシウムフェライトが出現し, 中塩基度スラグは見られず, ヘマタイト (あるいはマグネタイト), カルシウムフェライト, マグネシオフェライトおよび CaO/SiO₂ 比が 1.4~2.0 の高塩基度スラグから構成される。MgO 無添加ペレットではヘマタイトと高塩基度スラグから, ペレット中 MgO 量が 1~2% ではカルシウムフェライトがさらには MgO 2% 以上ではマグネシオフェライトが新たに出現し, MgO 4% ではカルシウムフェライトが消失している。

カルシウムフェライト中の MgO 量は 1.4~2.0% と Fig. 2 の CaO/SiO₂ 比が 1.5 で 1200°C で焼成したペレット中のカルシウムフェライトに比べて MgO 量は低い。マグネシオフェライト中の MgO 量は 8~11% 含有しペレット外周部と中心部で差は見られない。

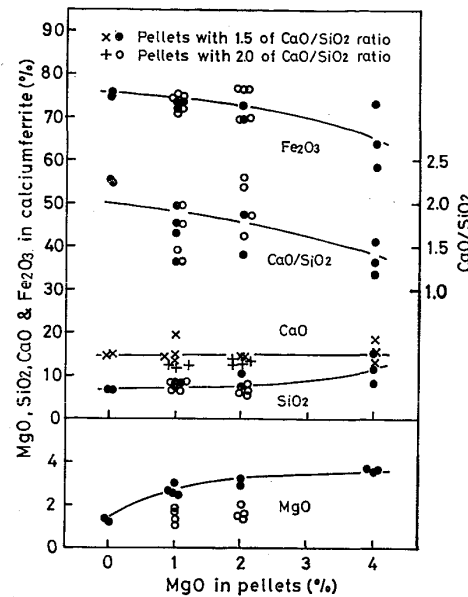


Fig. 2. Change of MgO, SiO₂, CaO & Fe₂O₃ contents in calciumferrite phase by varying MgO contents in pellets.

Fig. 4 に高塩基度スラグ中の MgO, Fe₂O₃ 量および CaO/SiO₂ 比のペレット中 MgO 量による変化を示す。CaO/SiO₂ 比が 1.5 のペレットでは Fe₂O₃ 量 3~4% でペレット中の MgO 量の変化にかかわらずほぼ一定値を示す。CaO/SiO₂ 比が 2.0 のペレットでは測定値に変動はあるが, MgO 量の増大に伴つて低下する傾向が見られる。MgO 量は CaO/SiO₂ 比が 1.5 ではペレット中 MgO 量 2~4% において約 5% の高い濃度を示すのに対して, CaO/SiO₂ 比が 2.0 のペレットでは MgO 量の変化は見られず 0.3% 程度の低濃度である。

4. 実験結果の検討

4.1 各鉱物組織の存在量

CaO/SiO₂ 比が 0.5, 1.5, 2.0 を持つ自溶性ペレットへの MgO 添加量の変更により出現する鉱物組織は, ヘマタイト, マグネタイト, マグネシオフェライトおよび CaO/SiO₂ 比が約 0.5, 1.0 および 1.4~2.0 のそれぞれ低塩基度, 中塩基度および高塩基度スラグであることを顕微鏡組織観察および EPMA による定量分析から明らかにした。これら各相の存在量は CaO/SiO₂ 比, ペレット中 MgO 量および焼成温度により変化しており, 以下に述べる方法で各鉱物組織の存在量を推算した。

ペレット中の各相の化学組成を EPMA による分析結果から代表的と考えられるものまたは平均値を選択し, Fe 元素以外は酸化物に換算しこの値を各相の化学組成とする。次にペレットの化学分析結果と各相の上述

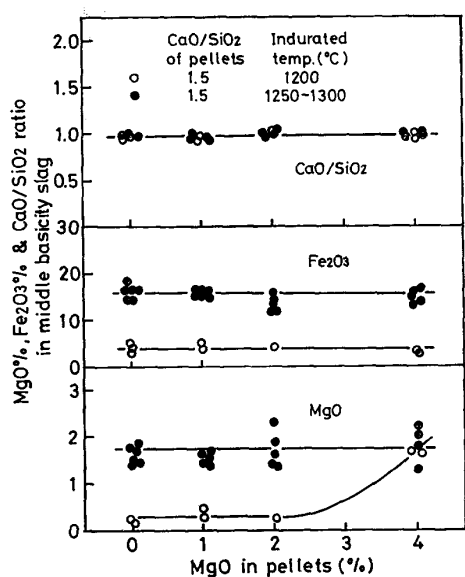


Fig. 3. Change of MgO & Fe₂O₃ contents and CaO/SiO₂ ratio in middle basicity slag phase by varying MgO contents in pellets.

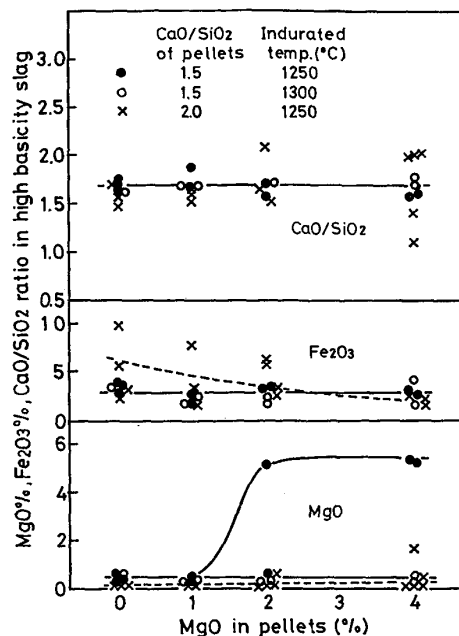


Fig. 4. Change of MgO & Fe₂O₃ contents and CaO/SiO₂ ratio in high basicity slag phase by varying MgO contents in pellets.

の化学組成から、T.Fe, CaO, SiO₂, MgO, Al₂O₃ 成分について、2相が存在する場合は二元一次の3相が存在する場合は三元一次連立方程式を立てて各相の存在量を計算する。計算に用いる各相のEPMAによる分析結果には誤差があり、また各相の代表値であるのか不明のため、各相について繰り返し測定したEPMAによる点分析結果を組み替えて連立方程式を解き、各相の存在量が正の値を示す点分析結果を採用した。ここでヘマタイトとマグネタイト相はEPMAでは分離定量できなかつたため酸化鉄相として同一のものとして計算してヘマタイト相として代表し表示した。

以上のようにして得られた各相の存在量はEPMAによる分析値の精度に依存し、誤差を含むものであるが、ペレットの製造条件による各相の存在量の変化を定性的には評価できるものと考えられる。

Fig. 5 の左図は温度1250°Cで焼成したペレットのCaO/SiO₂比が0.5, 1.5, 2.0についてそれぞれMgO含有量を0, 1, 2, 4%変更した場合の各相の存在量の変化を示したものである。

CaO/SiO₂比が0.5のペレットにおいてはMgO含有量の変化によりマグネシオフェライトの存在量に大きな変化が現れ、MgO 1%で微量の、2%で7.1%, 4%では28.7%の多量のマグネシオフェライトが生成する。このマグネシオフェライトの生成に従つてヘマタイト相は減少する。またペレット中MgO 1%以上でスラグ中に約10%MgOを含有する低塩基度スラグ相もペレット中MgO量の増大に伴つて増加を示している。

CaO/SiO₂比が1.5のペレットにおいてもMgO添加量の増大に伴つてマグネシオフェライトの存在量が増

加し、ペレット中MgO 1%で5.2%のものがMgO 4%では29.9%を示している。CaO/SiO₂比が0.5のペレットに比べて低いMgO量からマグネシオフェライト相が生成し、その存在量も多い。また中塩基度および高塩基度スラグの合計量は添加MgO量による変化は少なく、中塩基度スラグ相がMgO 1%において5.6%と他のペレットに比べて高い値を示す特徴が見られる。この理由については今後検討したい。

CaO/SiO₂比が2.0のペレットにおいては、カルシウムフェライト相がMgO 1%および2%においてそれぞれ49.1および37.9%生成している。マグネシオフェライト相はMgO 1%以上から生成し、他のCaO/SiO₂比のペレットに比べてその存在量は最も高い。またこの相の生成に伴つてカルシウムフェライト相の存在量は減少しMgO 4%では消失している。高塩基度スラグ相は、カルシウムフェライト相の生成したMgO 1~2%において2.5~3.5%の低値を示し、他のMgO量における12~13%の存在量に比べて著しく低い値である。

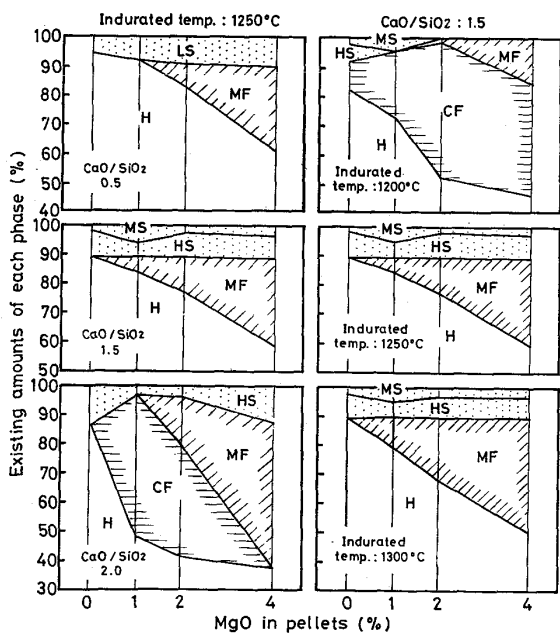
Fig. 5 の右図は、CaO/SiO₂比を1.5に調製して温度1200, 1250, 1300°Cで焼成したペレットにおける、各鉱物相の存在量のペレット中MgO含有量による変化を示したものである。

焼成温度1200°Cと1250~1300°Cとで各鉱物相の存在量は著しく変化しており、前者はカルシウムフェライトの生成量に後者はマグネシオフェライトの生成量に大きな変化が見られる。

焼成温度1200°Cにおいては、MgO無添加ではカル

シウムフェライト相が 9.9% のものが MgO 1 および 2%においてはそれぞれ 22.8 および 46.6% へと増加し、 MgO 4% では 38.3% とわずかに低下している。マグネシオフェライト相は MgO 2% で 1.4% と微量生成し、 MgO 4% では 15.7% と増加する。スラグ相の存在量はカルシウムフェライトの生成に伴い減少しており、 MgO 2% 以上では微量しか存在しない。焼成温度 1250~1300°Cにおいてはカルシウムフェライト相は生成せず、マグネシオフェライト相が MgO 量の増大に伴つて増加し、1300°Cと高温度焼成した場合によりその存在量が多くなる。スラグ相の存在量は 10% とほぼ一定の値を示すが、 MgO 1%において中塩基度スラグと高塩基度スラグの存在量に差が見られており、中塩基度スラグの存在量が多くなっている。この MgO 1%における中塩基度スラグ存在量の増加傾向は 1200°C 焼成ペレットにおいても同様である。

以上から、自溶性ペレットへの MgO 添加の鉱物組織におよぼす影響はマグネシオフェライトの生成に特徴が示され、ペレット中 MgO 量が 1 または 2% 以上においてマグネシオフェライト相が生成し、 CaO/SiO_2 比および焼成温度の上昇に伴つてその存在量が増加する。またカルシウムフェライトは CaO/SiO_2 比が 1.5 で 1200°C の低温度で焼成した場合、および CaO/SiO_2 比が 2.0 で 1200~1250°C で焼成した場合の MgO 1~2% 含有ペレットにおいて著しくその生成量を増大している。このことは、 MgO 成分が Fe_2O_3 , CaO および



H : Hematite, MF : Magnesioferrite, CF : Calciumferrite, LS : Low basicity slag, MS : Middle basicity slag, HS : High basicity slag

Fig. 5. Change of existing amounts of each phase in pellets by varying CaO/SiO_2 , indurated temp. and MgO contents.

SiO_2 成分間の反応で生成する、およびカルシウムフェライト中への主に SiO_2 成分の溶け込みでは生成するスラグ相の形成を抑制するものと推察され、このため焼成初期に生成したカルシウムフェライトがそのまま残留してカルシウムフェライト相の存在量が多くなつたものと考えられる。さらに MgO 量が増加するとマグネシオフェライト相が生成し、この相の生成量だけカルシウムフェライト相の量が減少する。

Fig. 6 に自溶性ペレット中の各鉱物相への MgO 成分の分配比の変化を示す。この図は EPMA による各相の MgO 含有量と前述の Fig. 5 に示された各相の存在量に基づいて算出したものである。ここで酸化鉄中への MgO の分配比の計算は、 MgO がほとんど含有しない酸化鉄として存在する相と MgO 5~16% 含有し新たなマグネシオフェライト相として存在する相があるため、マグネシオフェライト相への MgO 成分の分配比として表示した。

MgO 成分の各相の分配比はカルシウムフェライトおよびマグネシオフェライト相、特に後者の生成量に支配される。両鉱物相が生成しない MgO 含有量の少ないペレットではスラグ相にも MgO 成分は分配するが、カルシウムフェライトおよびマグネシオフェライト相が生成するとスラグ相への分配比は低下する。

4・2 マトリックス組織の分類

供試ペレットの鉱物組織はヘマタイト、マグネタイト、マグネシオフェライト等の酸化鉄相以外にカルシウムフェライトおよび各種スラグ相から成っている。Fig. 7 はこのカルシウムフェライト相およびスラグ相に対して EPMA で定量した化学組成を $CaO-SiO_2-Fe_2O_3$ 三元系状態図¹⁰⁾ 中に $(CaO+MgO)-SiO_2-(Fe_2O_3+Al_2O_3)$ 系として換算して表示したものである。A は CaO/SiO_2 比が約 0.5 の低塩基度スラグで、B および B' は CaO/SiO_2 比が約 1.0 の中塩基度スラグで B と B' の相違は Fe_2O_3 量にあり、B はモノカルシウムシリケートとガラス質スラグから、B' はモノカルシウムシリケートから成るものと考えられる⁴⁾。C は EPMA による化学組成がほぼ $CaO \cdot 2Fe_2O_3$ 組成に近いことおよび X 線回折による同定からヘミカルシウムフェライトと考えられる。D は CaO/SiO_2 比が 1.4~2.0 の高塩基度スラグでダイカルシウムシリケートとガラス質スラグから成るものと考えられる⁴⁾。

これらのペレットマトリックス組織としての各スラグ相の生成は CaO/SiO_2 比および焼成温度により変化し、ペレットの CaO/SiO_2 比が 0.5 では A 組成の、 CaO/SiO_2 比が 1.5 で焼成温度 1200°C では B'、C および D 組成の、 CaO/SiO_2 比が 1.5 で焼成温度 1250~1300°C では B および D 組成の、更には CaO/SiO_2 比が 2.0 では D および C 組成のマトリックス組織から成る。

Fig. 8 はスラグ相の CaO/SiO_2 比によるスラグ相中

Fe_2O_3 および MgO 量の変化を示したものである。スラグ相の塩基度の増大に伴つて MgO 含有量は低下し、 CaO/SiO_2 比が 0.5 で MgO 10% 含有したものが CaO/SiO_2 比が 1.0 で約 2% 近くに減少している。

Fe_2O_3 量も同様に CaO/SiO_2 比が 0.5 で 20~30% のものが CaO/SiO_2 比が 1.5 で約 5% へと低下している。すなわち高塩基度スラグほど MgO および Fe_2O_3 成分の固溶量は少なくなる傾向にある。また MgO 無添加ペレットのスラグ相中 MgO 量は CaO/SiO_2 比が 0.5 でも約 2% と低い。

このようにペレット焼成過程で生成するマトリックス組織としてのスラグ相は、配合原料の塩基度を高めるにしたがつて低塩基度ガラス質スラグからモノカルシウムシリケート、さらにはダイカルシウムシリケートへと高塩基度化し、MgO 成分の固溶量も減少し、これに伴い MgO 成分は酸化鉄へ拡散して多量のマグネシオフェライトを生成する。またカルシウムフェライト相への MgO 成分の固溶量も Fig. 2 に示されるように CaO/SiO_2 比の高いペレットほど低い値を示している。

4.3 マグネシオフェライト相について

MgO 添加によるペレット鉱物組織の変化はマグネシオフェライト相の生成に特徴づけられる。ペレット中 MgO 成分は焼成過程で酸化鉄と固相反応しマグネシオフェライトを生成する。この相はマグネタイトと同様に

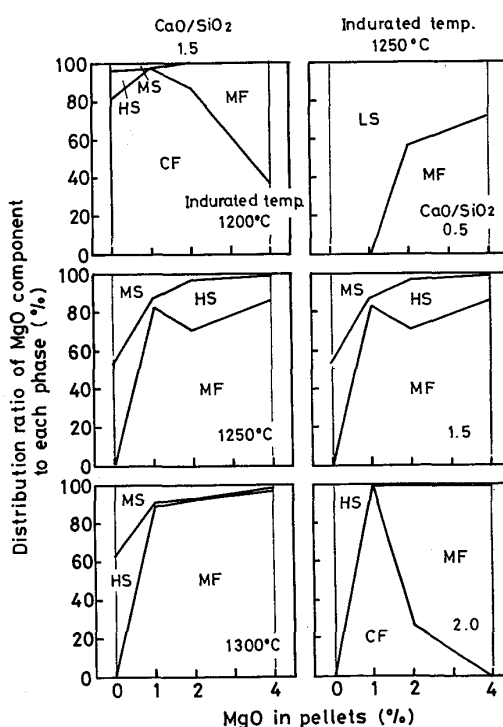


Fig. 6. Change of distribution ratio of MgO component to each phase by varying CaO/SiO_2 ratio, indurated temp. and MgO contents.

逆スピネル構造で、Fig. 9 の Fe_2O_3 -MgO 二元系状態図¹¹⁾ から知られるようにマグネシオフェライト中の Fe^{2+} は Mg^{2+} と完全にまたは一部置換するが広い均一相領域が存在する。

Fig. 9 の FeO -MgO 二元系状態図¹¹⁾ 中の各点は EPMA により定量したマグネシオフェライト中の MgO 量を各焼成温度別にプロットしたものである。ペレット中に生成するマグネシオフェライト中の MgO 量はペレット外周部と中心部とでは異なり、外周部で 10~15% であるのに対し中心部では 5~10% と外周部において高い。またこれらマグネシオフェライトの組成は、ペレット中心部ではほぼマグネシオフェライト十ヘマタイト領域とマグネシオフェライト領域の境界線上にあり、ペレット外周部ではマグネシオフェライト単一領域にある。両者とも焼成温度の上昇に伴つてほぼ平行して低 MgO 側に移行している。

また、Fig. 10 の $(\text{Mg}\cdot\text{Ca}\cdot\text{Fe})\text{O}\cdot\text{Fe}_2\text{O}_3$ スピネル相中の Mg^{2+} および Ca^{2+} の置換率の CaO/SiO_2 比および焼成温度による変化にも示されるように、ペレット外周部ではほぼ $(\text{Mg}_{0.5\sim 0.8}\text{Fe}_{0.2\sim 0.5})\text{O}\cdot\text{Fe}_2\text{O}_3$ 、ペレット中心部ではほぼ $(\text{Mg}_{0.3\sim 0.5}\text{Fe}_{0.7\sim 0.5})\text{O}\cdot\text{Fe}_2\text{O}_3$ 組成範囲にあり、外周部において Mg^{2+} の置換率が高い。ペレット外周部における Mg^{2+} の置換率は焼成温度の上昇および含有 MgO 量の増加に伴つて低下する。ペレット中心部においても焼成温度の上昇に伴つて Mg^{2+} の置換率は低下するが、MgO 含有量および CaO/SiO_2 比による変化は明確でなく、分析誤差を考慮すればほぼ一定値を取るものと考えられる。 Ca^{2+} も置換しており、 Ca^{2+} の置換率は CaO/SiO_2 比 1.5 の組成のペレットでは 2~3% とほぼ一定値を、温度 1250°C で焼成したペレットでは CaO/SiO_2 比の増大により 1% から 3% へと Ca^{2+} 置換率は増大する。このようにマグネシ

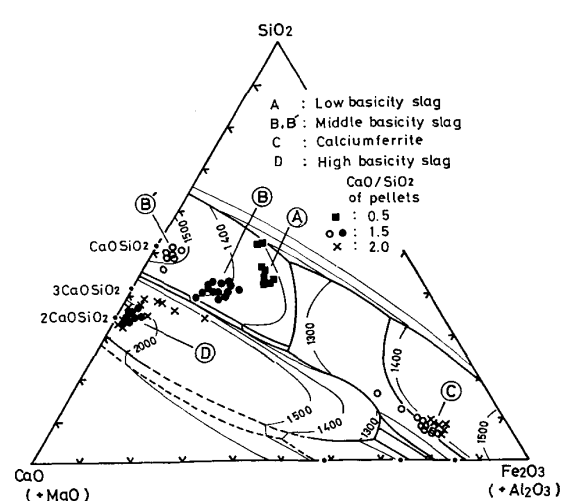


Fig. 7. Chemical compositions of calciumferrite and each slag phase in sampled pellets.

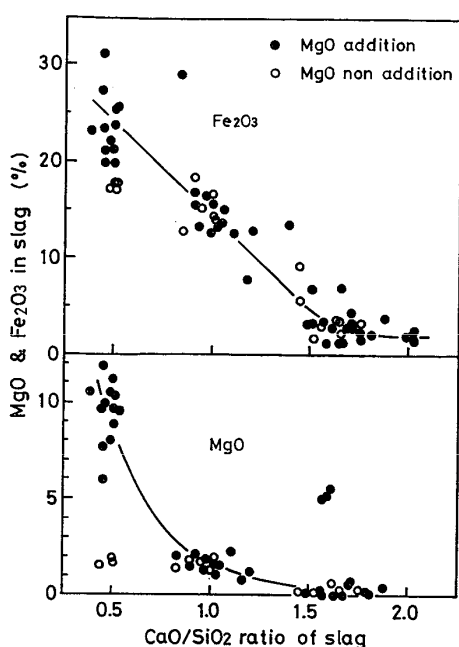


Fig. 8. Relation between MgO & Fe₂O₃ contents, and CaO/SiO₂ ratio in slag.

オフェライト中のMg²⁺の置換率は焼成温度、MgO含有量、CaO/SiO₂比さらにはペレット中心部と外周部で異なる値が示されている。

このMg²⁺の置換率の差については更に基礎的な検討を要するが、次のように考えられる。すなわち、供試ペレット原料中にはCaO源として石灰石を添加しており、石灰石は900°C付近において分解しCO₂ガスを発生する。ペレットの焼成過程において石灰石添加ペレットではその組成にもよるが、1150°C以上において液相を生成する。高温度に急速に昇温された場合にはペレット中心部にCO₂ガスの一部が生成液相により閉鎖され残留した状況が起こる。したがつて外周部と中心部とでは、中心部において酸素分圧は低く、かつ外部からの酸素の拡散も少ない。A. E. PALADINO¹²⁾の酸素分圧を変更した際のFeO-MgO-Fe₂O₃三元系状態図から、同一焼成温度では酸素分圧の低いほど(Fig. 11)また焼成温度の高いほどマグネシオフェライトへのMgOの固溶量が低下することを示している。したがつて、上に述べたように気相中の酸素分圧が一定でもペレット内の酸素分圧が焼成過程で低下する現象が起こると考えれば、マグネシオフェライト中のMg²⁺の置換率がペレット中心部ほどおよび焼成温度の高いほどより低い値が得られたことを説明できる。ペレット中のMgO含有量の増大にともなうMg²⁺置換率のペレット外周部における低下は、マグネシオフェライトの生成過程で解離したFe²⁺量はMgO含有量の多い程多く、2CaO·Fe₂O₃-FeO-Fe₂O₃三元系状態図¹³⁾から推察されるようにより低融点の液相の形成を促進してこの部分が局部的に酸素の拡散がなされなくなつたためとも考えられるが推論の域を出

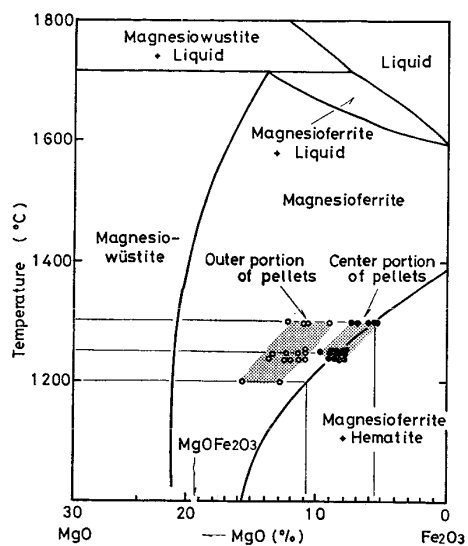


Fig. 9. Phase relations in the system mgO-Fe₂O₃ and MgO contents in magnesioferrite phase of sampled pellets.

ない。またスラグの組織によつても生成液相の融点および粘性が変化するためMgO含有量の値によるMg²⁺置換率に対する影響も異なり、CaO/SiO₂比が0.5組成のペレット外周部においてMgO含有量の増大に伴うMg²⁺置換率の低下が顕著である。

次に、ペレット外周部と中心部での気孔中酸素濃度の差を推定した。EPMAによるマグネシオフェライト相中のMgOの定量値を基準として(Mg_xFe_{1-x})O·Fe₂O₃組成の仮定のもとにFeOおよびFe₂O₃量を算出してプロットしたマグネシオフェライトの化学組成をFig. 11のMgO-FeO-Fe₂O₃三元系状態図¹²⁾中に示す。この状態図は温度1300°Cにおけるもので、各点も温度1300°Cで焼成したCaO/SiO₂比が1.5のペレットの外周部と中心部のマグネシオフェライトの組成である。ペレット外周部よりも中心部において酸素濃度は低く、外周部では約21%，中心部では10%以下である。

5. 結 言

石灰石添加自溶性ペレットの焼成時における鉱物組織変化へのMgO成分の影響を明らかにする目的で、CaO/SiO₂比が0.5, 1.5, 2.0組成においてMgO含有量を0, 1, 2, 4%変更して焼成したペレットの鉱物組織を顕微鏡観察およびEPMAによる定量分析を行い検討した。得られた知見は次のとおりである。

(1) 自溶性ペレットの鉱物組織変化へのMgO添加の影響はマグネシオフェライトの生成に特徴づけられ、その生成量はCaO/SiO₂比の増大および焼成温度の上昇に伴つて増加する。マグネシオフェライト中のMgO含有量は5~16%の範囲で変化し、CaO/SiO₂比の増大および焼成温度の上昇に伴つて低下する。またマグ

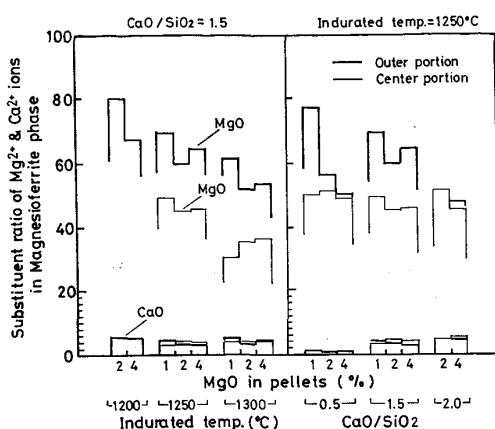


Fig. 10. Change of substituent ratio of Mg^{2+} & Ca^{2+} ions in magnesioferrite phase by varying MgO contents CaO/SiO_2 ratio and indurated temp.

ネシオフェライトはペレット外周部では ($Mg_{0.5 \sim 0.8} \cdot Fe_{0.2 \sim 0.5} O \cdot Fe_2O_3$)、ペレット中心部では ($Mg_{0.3 \sim 0.5} \cdot Fe_{0.7 \sim 0.5} O \cdot Fe_2O_3$) の化学組成で示され、中心部におけるマグネシオフェライト中の Mg^{2+} 置換率は外周部に比べて低い。

(2) ペレット中に生成する酸化鉄以外の鉱物組織はカルシウムフェライトと主に塩基度の異なる3種スラグ相に分類される。このスラグ相は CaO/SiO_2 比 0.5 の低塩基度、 CaO/SiO_2 比約 1.0 の中塩基度および CaO/SiO_2 比 1.4~2.0 の高塩基度スラグである。各スラグ相およびカルシウムフェライト相の生成は CaO/SiO_2 比および焼成温度により変化する。スラグ相中の MgO および Fe_2O_3 量は、スラグの CaO/SiO_2 比が高くなるほど低下する。カルシウムフェライト中の MgO 量は MgO 無添加で約 1% のものが MgO 1% 以上で 2.5~3% へと増大する。

文 献

- 1) 土屋 健、大槻 健、杉山 健、小野田 守、藤田勇雄: 鉄と鋼, 66 (1980) 8, p. 1057
- 2) 土屋 健、大槻 健、杉山 健、小野田 守、藤田勇雄: 鉄と鋼, 66 (1980) 9, p. 1297
- 3) C. G. THOMAS, C. H. GRAY, K. McG. BOWL-

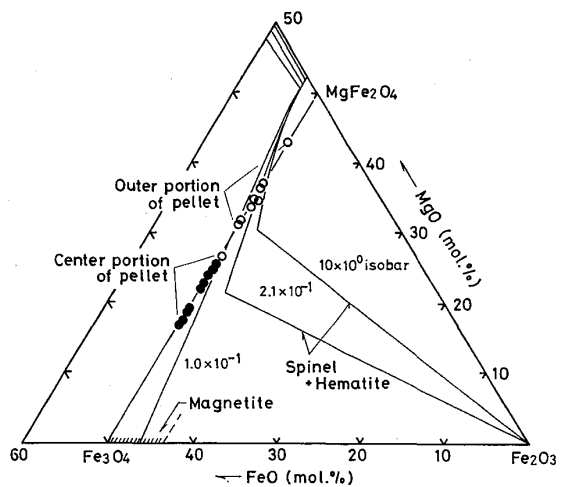


Fig. 11. Phase relations in the system $MgO-FeO-Fe_2O_3$ and chemical compositions of magnesioferrite in pellets indurated at $1300^\circ C$.

ING, and G. J. ARMSTRONG: The Aus. I.M.M. Conference, Western Australia, May, 1973, p. 533

- 4) 松野二三郎: 鉄と鋼, 64 (1978) 10, p. 1499
- 5) D. A. KISSEN and T. I. LITVIOVA: Stal in Eng., (1960) 5, p. 312
- 6) 国井和扶、西田礼次郎、小泉秀雄: 鉄と鋼, 52 (1966) 3, p. 237
- 7) G. S. VASIL'EV, G. G. EFIMENKO, D. A. KOVALEV, E. I. SULIMENKO, and L. B. GAMAZOVA: Stal in USSR, (1971), p. 415
- 8) G. THANING: LKAB NEWS, Special Report, Oct., (1974)
- 9) L. BENTELL and G. MATHISSON: Scand. J. Met., 7 (1978) 5, p. 230
- 10) B. PHILLIPS and A. MUAN: J. Am. Ceram. Soc., 42 (1959), p. 413
- 11) B. PHILLIPS, S. SOMIYA, and A. MUAN: J. Am. Ceram. Soc., 44 (1961) 4, p. 169
- 12) A. E. PALADINO: J. Am. Ceram. Soc., 43 (1960) 4, p. 189
- 13) B. PHILLIPS and A. MUAN: J. Am. Ceram. Soc., 41 (1958) 11, p. 41